

06.2; 06.3; 12

(C) 1993

ИНЖЕКЦИОННЫЕ  $p$ - $i$ - $n$  СВЕТОДИОДЫ  
НА ШИРОКОЗОННЫХ АМОРФНЫХ ГИДРОГЕНИЗИРОВАННЫХ  
СПЛАВАХ КРЕМНИЙ-УГЛЕРОД

Д. Ханов, А.А. Андреев,  
Р.К. Мавлянов, Т. Тургунов,  
А. Чарыкулиев

Метод плазменного разложения силанов на частотах УВЧ диапазона (75–250 МГц), предложенный в [1], был использован для получения аморфных гидрогенизированных сплавов системы кремний–углерод. Метод оказался эффективным при работе с газовой смесью силан–метан. Именно благодаря повышенной концентрации высокоэнергетичных электронов в УВЧ разряде удалось сбалансировать парциальные скорости диссоциации силана и метана и получить обогащенные углеродом широкозонные сплавы  $\alpha\text{-Si}_{1-x}C_x:H$  со значением  $X$  до 0.8. На рис. 1 приведен ход оптической ширины запрещенной зоны полученных материалов в зависимости от состава. Ширина зон оценивалась двумя методами: первый – по уровню поглощения  $\alpha = 10^4 \text{ см}^{-1}$ ; второй – путем экстраполяции соотношения Тауца  $\sqrt{\alpha h\nu} = B(h\nu - E_g)$ . Нетрудно видеть, что оптическая ширина зоны монотонно увеличивается с ростом содержания углерода в сплаве, что свидетельствует о вхождении углерода в структурную сетку по типу  $sp^3$  гибридизации.

На полученных материалах была измерена фотолюминесценция (ФЛ). Положение пика ФЛ в функции состава также приведено на рис. 1. Из данной зависимости видно, что при значениях  $X \geq 0.5$  пик ФЛ попадает в видимый диапазон. Измерения температурной зависимости интенсивности ФЛ показали, что с увеличением  $X$  ФЛ 300 К разгорается по отношению к  $I_{\text{ФЛ}} \alpha\text{-Si}:H$  при 77 К. Эти результаты послужили основанием для попытки создать инжекционный светодиод видимого диапазона на базе полученных аморфных материалов. Задача разработки на этом этапе сводилась к реализации способа накачки в широкозонный слой неравновесных носителей электронов и дырок с концентрацией, достаточной для достижения уровня интенсивности электролюминесцентного излучения (ЭЛ), видимого невооруженным глазом. При этом предполагалось, что механизм ЭЛ не должен существенно отличаться от механизма ФЛ.

В качестве рабочего варианта осуществления процесса накачки был выбран механизм двойной инжекции в  $p$ - $i$ - $n$  структуре З. Практическая реализация этой идеи требовала разработки и создания легированных широкозонных слоев в системе  $(Si-C):H$ . На-ми были проведены исследования по влиянию легирующих примесей

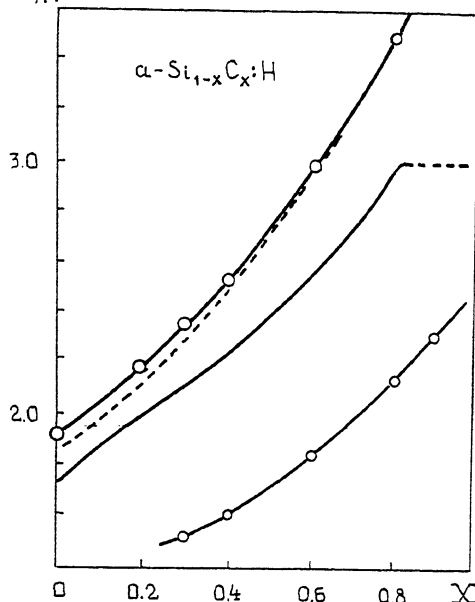


Рис. 1. Ширина оптической запрещенной зоны для аморфных сплавов  $a\text{-Si}_{1-x}\text{C}_x:\text{H}$  в зависимости от  $X$ , вычисленная по уровню поглощения  $\alpha = 10^4 \text{ см}^{-1}$  (верхняя кривая с точками), согласно соотношению  $\sqrt{\alpha h\nu} = B(h\nu - E_g)$  (средняя сплошная кривая), данные по  $E_g$  ( $\alpha = 10^4 \text{ см}^{-1}$ ), согласно [2], (пунктирная кривая). Зависимость пика фотолюминесценции (нижняя кривая с точками).

р-типа — бора и  $n$ -типа — фосфора на проводимость сплавов  $a\text{-Si}_{1-x}\text{C}_x:\text{H}$ . Примеси вводились из газовой фазы путем добавления в собственную смесь силан–метан диборана ( $\text{B}_2\text{H}_6$ ) или фосфина ( $\text{PH}_3$ ). Результаты этих экспериментов приведены на рис. 2. Как показывают кривые „а“ эффект легирования имеет место, однако эффективность процесса падает с ростом  $X$ . Для повышения качества легирующих слоев мы перешли к методике роста слоев в условиях водородного разбавления, предложенной в [4]. Эффективность легирования при этом должна возрасти, т. к. сильное водородное разбавление стимулирует рост нанокристаллических кластеров, пленка приобретает микрокристаллическую структуру и процесс легирования идет в соответствии с закономерностями, характерными для кристаллов. Результат применения методики водородного разбавления иллюстрируют кривые „б“ на рис. 2. Нетрудно видеть, что проводимость легированных  $\mu\text{c}$ —слоев действительно резко увеличивается для составов с  $X \approx 0.3$ . При больших  $X$  эффект падает. Именно  $\mu\text{c}$ —слои, легированные бором

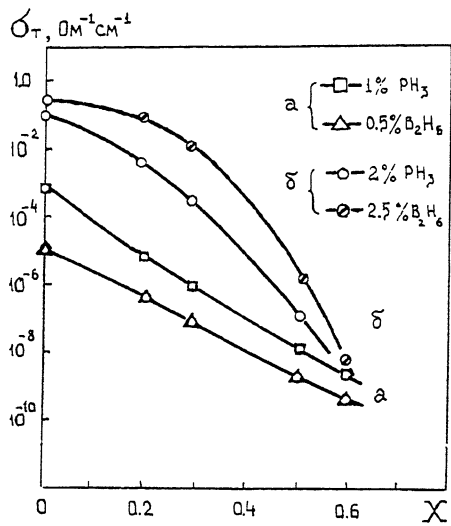


Рис. 2. Электропроводность легированных аморфных (а) и микрокристаллических (б) слоев  $a-Si_{1-x}C_x:H$  в зависимости от состава. Данные приведены для слоев толщиной 1800–2000 Å.

и фосфором с составом  $X = 0.3$ , были выбраны для создания  $p-i-n$  структур. В итоге первый вариант инжекционного светоизлучающего диода имел следующую структурную формулу:

$ITO(700\text{ \AA})/\rho^+ - \mu c - Si_{0.7}C_{0.3}:H(100\text{ \AA})/i-a-C_{0.6}Si_{0.4}:$

$H(500\text{ \AA})/n^+ - \mu c - Si_{0.7}C_{0.3}:H(250\text{ \AA})/Al$ ,

где  $ITO$  – проводящий окисел индия–олова  $In_xSn_yO_z$  с поверхностным сопротивлением  $\lesssim 50\text{ Ом}\cdot\text{см}^{-2}$ . В скобках указаны толщины слоев, измеренные в процессе роста *in situ* лазерным интерферометром. В качестве  $i$ -слоя выбран состав с  $E_g = 2.6\text{ эВ}$ .

Для оценки инжектирующих свойств полученных структур были выполнены измерения ВАХ. Типичные ВАХ приведены на рис. 3. Если данную ВАХ аппроксимировать стандартным соотношением  $I = I_s(e^{\frac{eV}{nkT}} - 1)$ , то фактор качества „ $n$ “ оказывается для различных образцов диодов колеблющимся в пределах 7–10, что существенно превышает максимальное для диффузионного тока через  $p-n$  переход теоретическое значение  $n = 2$ , имеющее место в условиях сильной инжеции. Этот результат свидетельствует о том, что в структурах на основе широкозонных аморфных полупроводников мы имеем дело с механизмом инжеции и токопереноса, отличным от стандартного для кристаллических полупроводников. Тем не менее эффективность инжеции следует признать все же

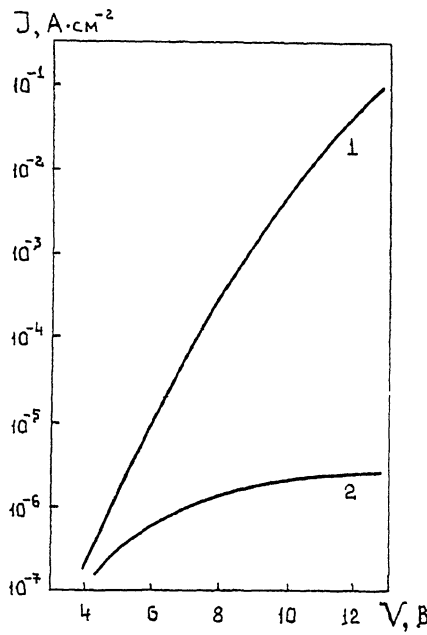


Рис. 3. Вольт-амперная характеристика  $p-i-n$  структуры с  $i$ -слоем на основе а -  $C_{60}Si_{40}:H$ . 1 - прямое смещение, 2 - обратное смещение.

достаточно высокой, так как аппроксимация экспериментальных ВАХ в координатах  $\log I = f(\log V)$  приводит к показателю степени  $m$  в зависимости  $J \sim V^m \approx 10-15$ , т.е. к значению не только существенно превышающему омическое поведение, но и много большему, чем предсказывает теорию для токов двойной инжекции ограниченных рекомбинаций в длинных диодах [3, стр. 117].

Важной особенностью наблюдаемых экспериментальных ВАХ является отсутствие заметного ограничения тока структур при максимальных токах инжекции, близких по величине к токам теплового пробоя. Это может иметь место только при отсутствии участка последовательного сопротивления в структуре и свидетельствует о том, что длины дрейфового смещения неравновесных носителей не меньше толщины  $i$ -слоя.

Инжекционные и токовые характеристики полученных  $p-i-n$  структур оказались достаточными, чтобы визуально наблюдать слабую электролюминесценцию. При этом пороговый ток оказывался равным  $100 \text{ mA/cm}^2$ . Заметим, что это значение на три порядка величины меньше типичного для светодиодов на кристаллическом карбиде кремния. Спектр излучения был измерен с помощью монохроматора ИСП-51, оснащенного фотоумножителем ФЭУ-79. Форма спектра приведена на рис. 4 в сравнении со спектром типового

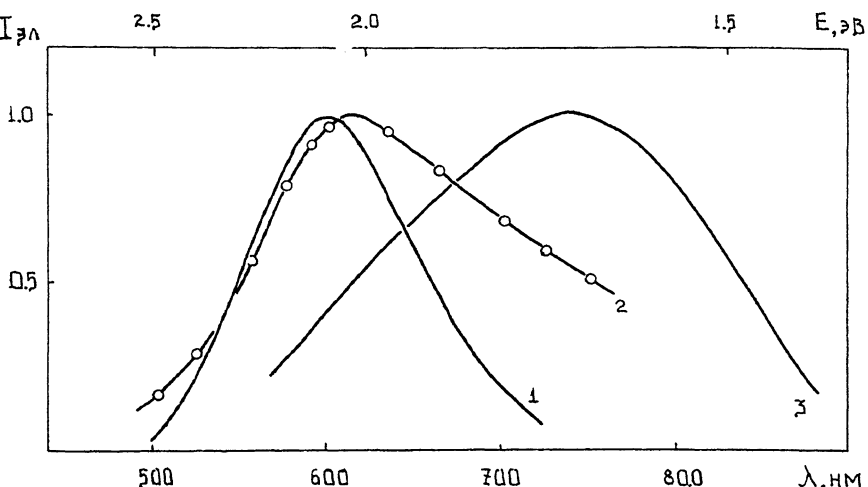


Рис. 4. Приведенные спектры электролюминесценции инжекционных  $p-i-n$  светодиодов. 1 – опорная кривая светодиода на кристаллическом карбиде кремния; 2 – данные настоящей работы; 3 – данные, взятые из работы [5] для „аморфного“ светодиода, полученного из смеси газов силан-ацетилен.

промышленного светодиода на кристаллическом карбиде кремния. На рис. 4 также дается спектр излучения диода на аморфном сплаве  $Si-C$ , полученном из смеси газов силан-ацетилен [5]. Исходя из значения порогового тока была рассчитана средняя дистанция „ $a$ “ между инъектированными носителями. При этом предполагалось, что ток имеет дрейфовый характер, величина дрейфовой подвижности  $\mu$  порядка  $10^{-5} \text{ см}^2 \cdot \text{В}^{-1} \text{ с}^{-1}$  и электрическое поле распределено в  $i$ -слое однородно. Так как  $n = \frac{I_{\text{пор}}}{e\mu V_{\text{пор}}}$  и  $a = \frac{I}{n^{1/3}}$ , то при  $V_{\text{пор}} = 10$  В оказывается порядка 150–300 Å. Это значение примерно соответствует радиусу туннельной излучательной рекомбинации свободных электронов и дырок в аморфных полупроводниках  $A''$  [6]. Данная интерпретация, однако, не может быть принята как однозначная. При таких больших смещениях, как наблюдаемое нами пороговое 10 В, возможно проявление механизма разогрева носителей в сверхсильных полях  $E = 2 \cdot 10^6 \text{ В/см}$  и ударной ионизации излучательных экситоноподобных центров, на наличие которых в аморфных сплавах ( $Si-C:H$ ) указывалось в работе [7].

## Список литературы

- [1] Андреев А.А., Андреев П.А., Ханов Д., Чарыкулиев А. // Изв. АН Туркменистана. 1992. № 4. С. 100.
- [2] Soliropoulos J., Weisser G. // J. of Non-Cryst. Sol. 1987. V. 97-98. P. 1087-1090.
- [3] Адирович Э.И., Карапеорит-Алкалайев П.М., Лейдерман А.Ю. В кн. Токи двойной инжекции в полупроводниках. М.: Сов. радио, 1978. С. 225.
- [4] Tsai C.C. Amorphous Silicon and Palated Materials, v. 1, edited by H. Fritzsche, Hydrogen dilution technique for preparation of the microcrystalline layers of Si:H (World Scientiric Publ., Singapore, 1989. P. 123-147).
- [5] Kruangam D., Endo J., Guang-Pu W., Nonomura Sh., Okamoto H., Hamakawa Y. // J. Non-Cryst. Solids. 1985. V. 77-78. P. 1429-1432.
- [6] Tsang C., Street R.A. // Phys. Rev. 1979. V. 19. N 6. P. 3027-3041.
- [7] Васильев В.А., Волков А.С., Мусабеков Е., Теруков Е.И. // Письма в ЖТФ. 1988. Т. 14. В. 18. С. 1675-1680.

НПО „Солнце“ Туркмении  
Физико-технический институт  
РАН, С.-Петербург

Поступило в Редакцию  
24 марта 1993 г.